

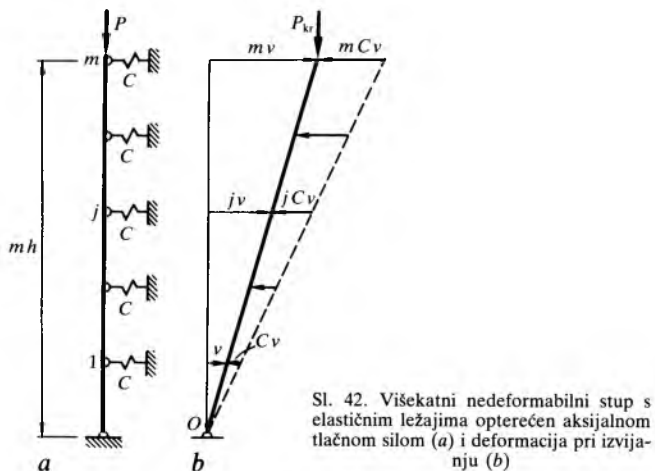
Sl. 41. Toranske rešetke (s duljinom mjerodavnog pojasnog štapa)

Tablica 7
VRIJEDNOSTI KOEFICIJENTA β I NJIHOVA OVISNOST KONSTRUKCIJI I PROFILU ŠTAPOVА

Slika	Tip	β	Slika	Tip	β
41 a	1	0,65	41 e	1	0,75
	2	0,70		2	0,80
	3	0,85		3	0,90
41 b	1	0,60	41 f	1	0,70
	2	0,65		2	0,75
	3	0,80		3	0,85
41 c		0,95	41 g		1,00
41 d		0,85	41 h		0,90

VIŠEPOLJNI ŠTAPOVI S KONSTANTNOM UZDUŽNOM SILOM

Višekatni nedeformabilni stup s elastičnim ležajima opterećen je tlačnom aksijalnom silom P (sl. 42a). Treba metodom ravnoteže utvrditi kritičnu vrijednost sile koja će prouzrokovati bifurkaciju ravnoteže.



Sl. 42. Višekatni nedeformabilni stup s elastičnim ležajima opterećen aksijalnom tlačnom silom (a) i deformacija pri izvijanju (b)

Deformacija sustava pri izvijanju (sl. 42b) jest zakret stupova oko njegove pete. Stupanj je slobode bočni pomak v u čvoru 1. Uvjet ravnoteže

$$\sum M_O = 0 \quad (201)$$

daje

$$P_{kr} \cdot mv = \sum_{j=1}^m C \cdot jv \cdot jh, \quad (202)$$

pa je

$$P_{kr} = \frac{1}{6} (2m+1)(m+1) Ch. \quad (203)$$

Dvopoljni štap s elastičnim srednjim ležajem. Dvopoljni štap fleksijske krutosti K , s elastičnim srednjim ležajem krutosti C , opterećen je aksijalnom silom P (sl. 43a).

Ako je

$$C \geq C^\circ = 16\pi^2 \frac{K}{L^3}, \quad (204)$$

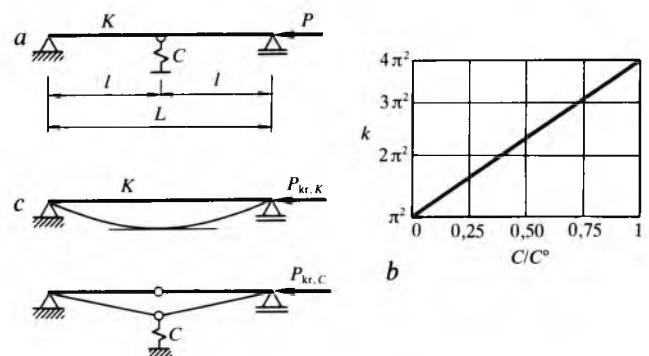
oba se polja štapa ponašaju kao Eulerov štap II, pa je

$$P_{kr} = 4\pi^2 \frac{K}{L^2}. \quad (205)$$

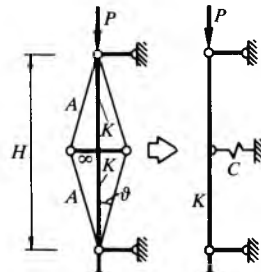
Ako je $C < C^\circ$, kritična je vrijednost sile P manja i iznosi, prema R. L'Hermiteu i W. Flüggeu, približno

$$P_{kr} = \pi^2 \frac{K}{L^2} + \frac{3}{16} CL = \left(1 + 3 \frac{C}{C^\circ}\right) \pi^2 \frac{K}{L^2} = k \frac{K}{L^2}. \quad (206)$$

Ovisnost koeficijenta k o omjeru C/C° prikazana je na sl. 43b.

Sl. 43. Dvopoljni štap s elastičnim srednjim ležajem na koji djeluje tlačna aksijalna sila (a), dijagram koeficijenta $k(C/C^\circ)$ kritične sile (b) i dva podsustava za utvrđivanje kritične sile prema Southwellu (c)

Sl. 44. Stup ojačan užetima
Slika (a) prikazuje stup sa m-polinom (m) na kojem su postavljene m-čvorove (C). Slika (b) prikazuje deformaciju stupova u m-čvorovima, pri čemu se stupovi ojačani užetima (A) povezuju s m-čvorovima.



Radi usporedbe može se kritična sila sustava odrediti primjenom Southwellova poučka kao zbroj kritičnih sila dvaju podsustava (sl. 43c):

$$P_{kr} = P_{kr,K} + P_{kr,C} = \pi^2 \frac{K}{L^2} + \frac{CL}{4}. \quad (207)$$

Navedeni izrazi mogu se primijeniti npr. na stup ojačan užetima (sl. 44); krutost elastičnog ležaja što je stupu daje užad iznosi:

$$C = \frac{2EA}{H} \sin^2 \theta \cos \theta, \quad (208)$$

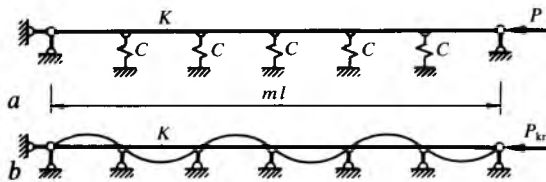
pa je kritična sila

$$P_{kr} = \pi^2 \frac{K}{H^2} + \frac{3}{16} CH. \quad (209)$$

Greda s više polja i s elastičnim unutrašnjim ležajima. m -poljna greda fleksijske krutosti K , s elastičnim unutrašnjim ležajima krutosti C , opterećena je aksijalnom silom P (sl. 45a).

Ako krutost C nije manja od granične krutosti C° , kritična je sila ista kao za m -poljnu zglobovnu gredu (183):

$$P_{kr} = (m\pi)^2 \frac{K}{(ml)^2} = \pi^2 \frac{K}{l^2}. \quad (210)$$



Sl. 45. \$m\$-poljna greda s elastičnim unutrašnjim ležajima, opterećena tlačnom silom (a) i progibna linija pri izvijanju (b)

Progibna se linija pri izvijanju sastoji od \$m\$ polusinusoida (sl. 45b). U ležajnim su presjecima točke infleksije progibne linije, pa na tim mjestima ne utječe fleksijska krutost grede, tako da se konstrukcija ponaša kao zglobna greda.

KONZOLNI STUP S PRIKLJUČENIM PENDEL-STUPOVIMA

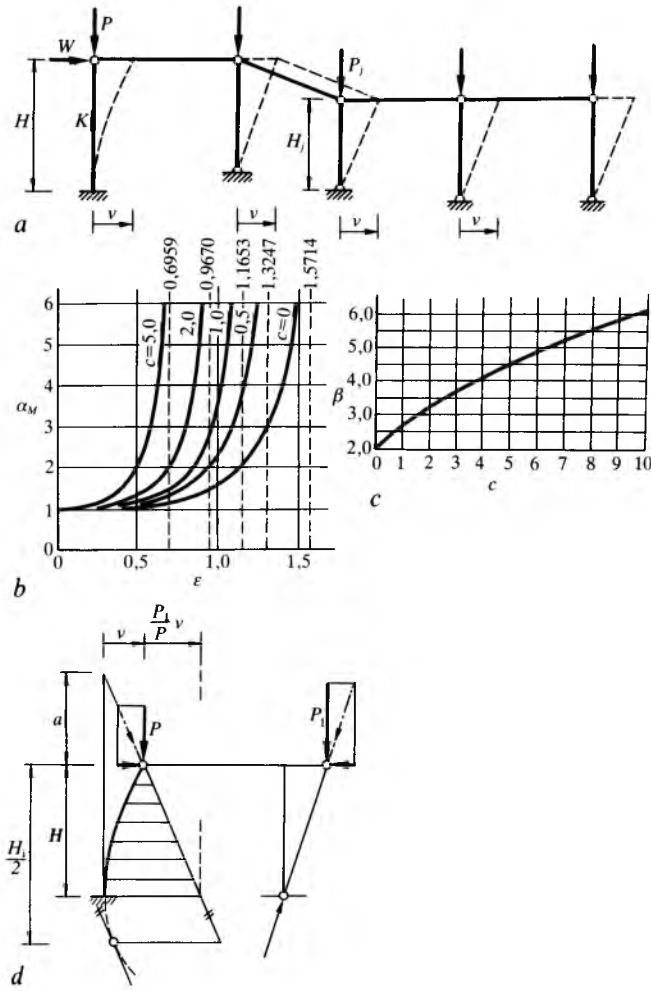
Potpuno upet konzolni stup visine \$H\$ i fleksijske krutosti \$K\$ opterećen je aksijalnom silom \$P\$ i bočnom silom \$W\$ te bočno pridržava niz aksijalno opterećenih pendel-stupova (sl. 46a). Bočni pomak \$v\$ glava stupova jednoznačno definira deformaciju sustava.

Bezdimenzijski je parametar sustava

$$c = \frac{H}{P} \sum_j \frac{P_j}{H_j}, \quad (211)$$

gdje se suma proteže na sve pendel-stupove.

R. Rosman i C. Petersen razradili su *strogoo rješenje* zadatka. Moment uklještenja \$M^1\$ konzolnog stupa bez utjecaja



Sl. 46. Potpuno upet konzolni stup, opterećen aksijalnom i bočnom silom, s priključenim pendel-stupovima (a), dijagram koeficijenta \$\alpha_M\$ povećanja momenta uklještenja konzolnog stupa (b), dijagram koeficijenta \$\beta\$ njegove duljine izvijanja (c), deformacija sustava s jednim pendel-stupom (d)

deformacije i koeficijent \$\alpha_M\$ povećanja tog momenta zbog deformacije iznose

$$M^1 = WH, \quad \alpha_M = 1 + \frac{(1+c)(\sin \epsilon - \epsilon \cos \epsilon)}{\epsilon \cos \epsilon - c(\sin \epsilon - \epsilon \cos \epsilon)}, \quad (212)$$

gdje je koeficijent labilnosti stupa definiran izrazom \$H\sqrt{P/K}\$. Ovisnost koeficijenta \$\alpha_M\$ o \$\epsilon\$ prikazana je na sl. 46b.

Rješenje homogenog zadatka daje jednadžbu bifurkacije ravnoteže:

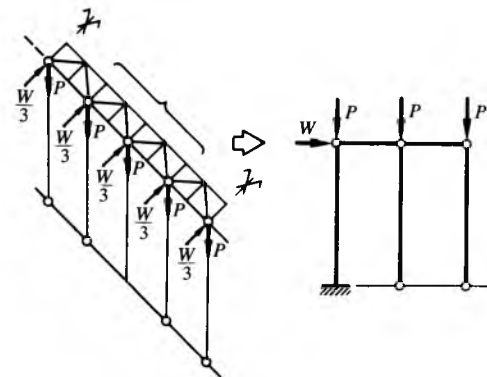
$$\frac{1+c}{c} \epsilon_{kr} = \tan \epsilon_{kr}, \quad (213)$$

gdje je \$\epsilon_{kr}\$ kritična vrijednost koeficijenta labilnosti jednaka \$H\sqrt{P_{kr}/K}\$. Na osnovi relacije \$\beta = \pi/\epsilon_{kr}\$ konstruiran je dijagram koeficijenta \$\beta\$ duljine izvijanja \$H_i = \beta H\$ stupa u ovisnosti o \$c\$ (sl. 46c).

Deformacija sustava s jednim pendel-stupom vidi se na sl. 46d; pri tome je udaljenost

$$a = v \cot \left(\frac{P_1}{P} \frac{v}{H} \right) = \frac{P}{P_1} H. \quad (214)$$

Opisano rješenje primjenjivo je dakako i na prostorne sustave ako je konstrukcijskom dispozicijom izbjegnuta torzija (sl. 47).



Sl. 47. Prostorni sustav od jednog upetog i dvaju priključenih pendel-stupova

Sattlerovom metodom može se izvesti *približan izraz* za koeficijent kritične vrijednosti \$P_{kr}\$ sile \$P\$ (sl. 48a). Pendel-stup \$j\$ (sl. 48b) bočno pridržava silu \$V_j = (P_j/H_j)v\$, pa se na konzolni stup preko prečaka prenosi sila (sl. 48c).

$$V = \sum_j V_j = v \sum_j \frac{P_j}{H_j}. \quad (215)$$

Na osnovi pripadnog momentnog dijagrama \$M\$ (sl. 48d), kojem je dio što se odnosi na silu \$P\$ aproksimiran parabolom, i momentnog dijagrama \$\bar{M}\$ (sl. 48e) zbog djelovanja jedinice sile za određivanje progiba \$v\$, Mohrova formula daje

$$v = \frac{1}{K} \int_0^H M \bar{M} dz = (1,25 + c) \frac{P_{kr} v H^2}{3K}, \quad (216)$$

pa je

$$P_{kr} = \frac{3}{1,25 + c} \cdot \frac{K}{H^2} = k \frac{K}{H^2} = \pi^2 \frac{K}{(\beta H)^2}, \quad (217)$$

gdje su koeficijent kritične sile \$k\$ i koeficijent \$\beta\$ duljine izvijanja konzolnog stupa:

$$k = \frac{3}{1,25 + c}, \quad \beta = \pi \sqrt{\frac{1,25 + c}{3}}. \quad (218)$$

Analize, dakle, pokazuju da pendel-stupovi smanjuju koeficijent \$k\$ i povećavaju koeficijent \$\beta\$, pa tako povećavaju opasnost od izvijanja. Ako nema pendel-stupova, bezdimenzijski je parametar \$c=0\$.